



بررسی عددی رفتار متفاوت برون روی گاز دمشی در ساختار آبر کاوایک دمشی

مهندی معرفت^{۱*}, سهراب طهماسبی^۲, محمدرضا انصاری^۳

۱- استاد، مهندسی مکانیک، دانشگاه تربیت مدرس، تهران

۲- دانشجوی دکتری مهندسی مکانیک، دانشگاه تربیت مدرس، تهران

۳- دانشیار، مهندسی مکانیک، دانشگاه تربیت مدرس، تهران

* تهران، صندوق پستی، 14155-143 maerefat@modares.ac.ir

چکیده

دو پارامتر اساسی، عدد فرود و میزان ضرب گاز دمشی در تشکیل آبر کاوایک دمشی بسیار مؤثر می باشند. هدف از ارائه این مقاله بررسی عددی رفتار متفاوت برون روی گاز دمشی در ساختار آبر کاوایک دمشی می باشد، که با نتایج تجربی مقایسه می گردد. شبیه سازی عددی با استفاده از نرم افزار Fluent، مدل مخلوط همگن با اختصار سرعت لغزشی برای هر فاز، و مدل اغتشاش ترکیبی (DES) (با در نظر گرفتن نیروی جاذبه انجام می گیرد. نتایج مقاله حاضر نشان می دهد، در اعداد فرود مختلف، وقتی که ضرب گاز دمشی QV ثابت است، دو مکانیزم برون روی گاز دمشی به وجود می آید (الف) گردابه استوانه ای پیچشی، که مخلوطی از گاز دمشی و پخار آب بوده و در امتداد جسم تشکیل می گردد. (ب) دو گردابه لوله ای توخالی که شامل گاز دمشی می باشد و در امتداد جسم، تحت تأثیر نیروی جاذبه قرار گرفته و به سمت بالا متغیر می گردد. با افزایش عدد فرود کاوایک از حالت دو گردابه لوله ای توخالی به حالت گردابه استوانه ای پیچشی تغییر حالت می دهد. وقتی که عدد فرود ثابت می باشد، با افزایش میزان ضرب گاز دمشی کاوایک بزرگ می شود و نیروی جاذبه بر شکل کاوایک تأثیر می گذارد. افزایش طول کاوایک، دارای حد معینی می باشد و پس از آن حتی با افزایش نزدیک داشت گاز طول حباب کاوایک افزایش نمی یابد. در عدد فرود ثابت، مشاهده می شود که با افزایش ضرب گاز دمشی، ضرب پسا روی بدنه جسم کاهش می یابد. فقط مدل اغتشاش (DES) که از ترکیب دو مدل اغتشاش ($\omega - k$) و مدل (LES) می باشد در شبیه سازی دو گردابه لوله ای توخالی بکار می رود.

اطلاعات مقاله

مقاله پژوهشی کامل

دریافت: ۰۶ تیر ۱۳۹۵

پذیرش: ۲۲ مرداد ۱۳۹۵

ارائه در سایت: ۲۱ شهریور ۱۳۹۵

کلید واژگان:

جریان کاوایک دمشی

رفار برون روی گاز

آبر کاوایک

Numerical investigation of different gas leakage behavior in ventilated cavitating flow structure

Mehdi Maerefat*, Sohrab Tahmasbi, Mohammad Reza Ansari

۱- Faculty of Mechanical Engineering, Tarbiat Modares University, Tehran, Iran.
*P.O.Box 14155-143, Tehran, Iran, maerefat@modares.ac.ir

ARTICLE INFORMATION

Original Research Paper

Received 26 June 2016

Accepted 12 August 2016

Available Online 11 September 2016

Keywords:

Ventilated cavitating flow

Gas leakage behavior

Super cavitation

ABSTRACT

In ventilated cavitating flow structure, two parameters are very important, Fr number and gas entrainment coefficient. The objective of this paper is to investigate the ventilated cavitating flow structure by numerical methods and verify with experimental results. The numerical simulation is performed by ANSYS-FLUENT and homogenous mixture model with a free slip velocity and DES turbulence model, and the gravity effect is considered. The results show when the gas entrainment coefficient Qv is constant, two typical mechanisms of the gas leakage exist at different Fr numbers, namely toroidal vortex mode and two hollow tube vortex mode. With the increasing of Fr, the cavity would transfer from the two hollow tube vortices to the toroidal vortices. Moreover, when the Fr number keeps constant, the enlargement of the cavity causes the gravitational effect to be more significant for the case of larger value of Qv . The result also showed that the cavity length increase has a defined value and it does not increase even with more gas flow injection. With the increasing of gas entrainment coefficient, the drag coefficient decrease. DES turbulence model is a combination of two models, SST $k - \omega$ and LES model and is suitable for simulating of two hollow tube vortices mode.

مواد مقابله کنیم، اگرچه در دینامیک سیالات پدیده کاوایک اجتناب ناپذیر است، اما همیشه ناخوشایند نمی باشد. در دهه های جاری محققین تلاش نموده اند، که اثرات نا خواسته ای این پدیده را کاهش دهنده و مزایای آن را مخصوصاً در بحث کاهش پس ای اصطکاکی افزایش دهنده. افزایش سرعت جریان آزاد یا دمدم گاز به صورت اجباری، در محیط کاوایک باعث ایجاد آبر

-۱- مقدمه
پدیده کاوایک همواره در کاربردهای مهندسی، به عنوان یک پدیده نامطلوب ارزیابی گردیده است، چون در این پدیده نوسانات فشار حاکم است لذا ارتعاش، نویز و خوردگی را به همراه داشته است. از آنجاییکه این موضوعات حاصل رفتار گذرا کاوایک می باشد بنابراین ناگزیر هستیم که با این

Please cite this article using:

M. Maerefat, S. Tahmasbi, M. R. Ansari, Numerical investigation of different gas leakage behavior in ventilated cavitating flow structure, *Modares Mechanical Engineering*, Vol. 16, No. 9, pp. 87-96, 2016 (in Persian)

برای ارجاع به این مقاله از عبارت ذیل استفاده نمایید:

طول کاوک سه هندسه را پس از شبیه‌سازی و صحه سنجی ارائه نمودند. پینگ و همکاران [7] شکل حباب کاوک دمشی نیروی پسا حاصل از آن را به صورت عددی شبیه‌سازی نمودند و رابطه بین شکل حباب کاوک دمشی و نرخ دمش گاز را به صورت تجربی ارائه کردند. ژانگ و همکاران [8] مجموعه‌ای از پرتاپه‌های زیرآبی را در تونل آب مداربسته به صورت تجربی موردمطالعه قراردادند و مشخصات مربوط به شکل حباب کاوک را به صورت طبیعی و دمشی استخراج نمودند. وانگ و همکاران [9] نرخ گاز دمشی در حباب کاوک را موربدبررسی قرار داده و نرخ تغییر حجم حباب کاوک را بر اساس روابط تجربی و نتایج شبیه‌سازی آزمایشگاهی مقایسه نمودند. و تطابق بین نتایج تجربی و نتایج آزمایشگاهی را نشان دادند. بین و همکاران [10] حباب کاوک را به شکل طبیعی و دمشی با استفاده از یک مدل سه‌بعدی و بر اساس معادله انتقال جرم شبیه‌سازی نموده و تطابق بین نتایج تجربی و نتایج شبیه‌سازی را نشان دادند.

چانسون و همکاران [11] مکانیزم پراکندگی گاز دمشی که به واسطه گردابیان فشار و تنش پرشی ایجاد می‌شود را نشان دادند. کیم و همکاران [12] به صورت تجربی نشان دادند که با دمش حباب‌های گاز در گردابه پشت کاوک را باعث ایجاد یک حباب کاوک پیوسته روی سطح جسم می‌گردد.

ساختار کاوک دمشی در شرایط مختلف هنوز به خوبی شناخته‌نشده است، لذا مطالعات بیشتری از لحظه تجربی و عددی در این زمینه لازم می‌باشد. هدف از ارائه این مقاله بررسی عددی رفتار متفاوت برون روی گاز دمشی در ساختار آبرکاوک دمشی، و مقایسه با نتایج تجربی می‌باشد. وقتی که ضریب گاز دمشی Q_v ثابت است، دو مکانیزم برون روی گاز دمشی در اعداد فرود مختلف به وجود می‌آید، (الف) گردابه استوانه‌ای پیچشی⁵، که مخلوطی از گاز دمشی و آب می‌باشد و در امتداد جسم تشکیل می‌گردد. (ب) دو گردابه لوله‌ای توالی⁶ که شامل گاز دمشی می‌باشد و در امتداد جسم، به سمت بالا متماطل می‌گردد.

2- معادلات حاکم

در معادلات حاکم، فرض بر اینستکه سیال مخلوطی از مایع، بخارآب و گاز غیرقابل تقطیر است. جریان به شکل مخلوط، همگن بوده بطریکه فازهای جریان دارای سرعت و فشار مشابه‌ی می‌باشند. در مز مشترک فازها، هر فاز دارای سرعت لغزشی می‌باشد [13]. معادلات پیوستگی و مؤمنتم جریان مخلوط به فرم روابط (1) و (2) است.

$$\frac{\partial \rho}{\partial t} + \frac{\partial (\rho u_j)}{\partial x_j} = 0 \quad (1)$$

$$\frac{\partial(\rho u_i)}{\partial t} + \frac{\partial(\rho u_i u_j)}{\partial x_j} = \rho g_i - \frac{\partial p}{\partial x_i} + \frac{\partial}{\partial x_j} \cdot \left[(\mu + \mu_t) \left(\frac{\partial u_i}{\partial x_j} + \frac{\partial u_j}{\partial x_i} - \frac{2}{3} \frac{\partial u_k}{\partial x_k} \delta_{ij} \right) \right] \quad (2)$$

u_i و g_i بردار سرعت و نیروی وزنی در جهت i می‌باشند. p فشار جریان مخلوط است. μ و μ_t نیز لزجت جریان آرام و لزجت اغتشاشی می‌باشند.

$$\text{جرم حجمی جریان مخلوط به فرم رابطه (3) تعریف می‌گردد.}$$

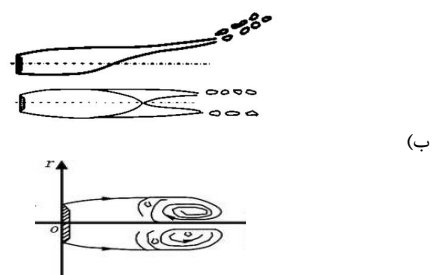
$$\rho = \alpha_v \rho_v + \alpha_g \rho_g + (1 - \alpha_v - \alpha_g) \rho_l \quad (3)$$

α کسر حجمی هر فاز است. زیرنویس‌های l , g , v مربوط به فازهای

کاوک¹ می‌گردد. آبرکاوک دمشی² یکی از موفق‌ترین تکنولوژی‌ها در جهت کاهش نیروی پسای اصطکاکی بر روی روندهای زیرآبی می‌باشد [1]. محققان و مهندسین تحقیقات زیادی را جهت بررسی پدیده تشکیل حباب کاوک³ به صورت طبیعی⁴ یا دمشی در اطراف اجسام تندره زیرآبی انجام داده‌اند. کاهش فشار محلی به فشار بخارآب باعث ایجاد حباب کاوک به صورت طبیعی می‌گردد. لذا در این شرایط نیروی پسا بر روی شناور به مراتب کوچک‌تر از زمانی خواهد بود که بدنه شناور با آب در تماس باشد. جهت تشکیل پدیده آبرکاوک سه روش موجود هست [2]: ۱) با افزایش سرعت جریان آزاد U_{∞} ۲) کاهش فشار محیط P_{∞} که در تونل‌های آب مداربسته امکان‌پذیر است ۳) افزایش فشار داخل حباب کاوک P_c که توسط دمش گاز غیرقابل تقطیر مثل هوا در داخل حباب کاوک می‌سیرد. آبرکاوک تولیدشده توسط روش‌های اول و دوم به عنوان کاوک طبیعی و روش سوم به عنوان کاوک دمشی یا مصنوعی محسوب می‌شود. بنابراین در حالت کاوک دمشی توسط دمش گاز می‌توان به طول حباب کاوک موردنظر رسید، و در کاوک طبیعی با افزایش سرعت جریان آزاد به طول کاوک مورد نظر می‌رسیم. دو اختلاف اساسی بین کاوک طبیعی و دمشی وجود دارد ۱) دمش، گاز دمشی در حباب کاوک باعث می‌گردد که در قسمت عقب کاوک رفتار متفاوتی ایجاد گردد. (نسبت به کاوک طبیعی) ۲) گاز دمشی در حباب کاوک، تحت تأثیر نیروی جاذبه قرار گرفته و در انتهای کاوک مطابق "شکل 1" برخلاف نیروی جاذبه حرکت می‌کند.

ساخنکو و همکاران [3] نتایج تجربی بر روی پرتاپه‌های زیرآبی در تونل آب استخراج نمودند و بر اساس نتایج، روابط تجربی جهت محاسبه طول و قطر حباب کاوک در حالت تقارن محوری ارائه نمودند. لیندا و همکاران [4] حرکت سه‌بعدی حباب کاوک را بر روی یک شناور تندره به صورت عددی شبیه‌سازی نمودند. در این مطالعه نشان دادند که توسط شبیه‌سازی عددی، می‌توان بر روی جسم بدون سطوح کترول، شکل‌گیری و حرکت حباب کاوک را به طور قابل قبولی نشان داد. وانگ و همکاران [5] روابط بین شکل کاوک و پارامترهای هندسی مربوط به کاوک را به صورت عددی بررسی کردند و فرمول‌های تجربی جهت محاسبه طول و قطر حباب کاوک بر روی پرتاپه‌های تحت تأثیر کاوک طبیعی ارائه نمودند. معروف و همکاران [6] کاوک طبیعی را بر روی سه هندسه متفاوت شبیه‌سازی کردند و روابط مربوط به محاسبه

(الف)



شکل 1 طرح‌واره مکانیزم برون روی گاز دمشی (الف) دو گردابه لوله‌ای تو خالی (ب) گردابه استوانه‌ای پیچشی

¹ Super-cavitation

² Ventilated super-cavitation

³ Cavity

⁴ Natural super-cavitation

رابطه (14) و (15) منتشر کننده‌های مؤثر¹، k و ω را نشان می‌دهد.

$$\Gamma_k = \mu + \frac{\mu_t}{\sigma_k} \quad (14)$$

$$\Gamma_\omega = \mu + \frac{\mu_t}{\sigma_\omega} \quad (15)$$

σ_k و σ_ω اعداد پرانتل اغتشاش برای k و ω می‌باشند. لزجت اغتشاش به فرم

رابطه (16) می‌باشد.

$$\mu_t = \frac{\rho k}{\omega} \frac{1}{\max\left[\frac{1}{\alpha^*}, \frac{SF_2}{\alpha^* \omega}\right]} \quad (16)$$

ترم پراکندگی Y_k انرژی جنبشی اغتشاش از دیدگاه DES به فرم رابطه (17) می‌باشد.

$$Y_k = \rho \beta^* k \omega F_{DES} \quad (17)$$

$$F_{DES} = \max\left(\frac{L_t}{C_{des} \Delta_{max}}, 1\right) \quad (18)$$

$C_{des} = 0.61$ بزرگ‌ترین طول سلول می‌باشد. مقیاس طول اغتشاش نیز از رابطه (19) می‌آید.

$$L_t = \frac{\sqrt{\kappa}}{\beta^* \omega} \quad (19)$$

رابطه (20) عدد بدون بعد کاوبتسیون و رابطه (21) عدد بدون بعد ضریب پسا را نشان می‌دهد.

$$\sigma_c = \frac{p_r - p_c}{\frac{1}{2} \rho u_\infty^2} \quad (20)$$

$$C_d = \frac{F}{\frac{1}{2} \rho u_\infty^2 A} \quad (21)$$

3- مدل عددی

در مطالعه حاضر جهت انجام تحلیل عددی از مدل مخلوط همگن² استفاده شده، فازها دارای سرعت لغزشی در بین مرزهای مشترک می‌باشند. هر فاز دارای کسر حجمی بوده و معادله مومنتوم به صورت مشترک برای کل جریان تحلیل می‌گردد. در این تحلیل از مدل‌های اغتشاشی دو معادله‌ای متفاوتی استفاده گردید و نهایتاً مدل DES بکار گرفته شد. این مدل اغتشاشی در نشان دادن گردابه در پشت مدل بسیار مناسب عمل نمود. مقدار y^+ روی بدنه جسم کمتر از 65 می‌باشد. جهت تحلیل عددی از نرم افزار فلوئنت³ بهره‌گیری شد. ابعاد هندسی مدل عددی موردنظر، یک مدل نست تجربی می‌باشد که نتایج آزمایشگاهی ارائه شده در این مطالعه بر اساس نتایج تجربی آن می‌باشد [15]. با توجه به "شکل 2" قطر صفحه کاواک را نتایج تجربی آن می‌باشد. طول مدل، $L=100.7$ mm و قطر مدل، 16 mm می‌باشد. صفحه کاواک را به عنوان مبدأ مختصات در نظر گرفته شده است. زاویه انتهای مدل تست 45 درجه، عرض کاواکرا 5mm و وزاریه کاواکرا 60 درجه می‌باشد. در "شکل 3" میدان جریان نشان داده شده است، ورودی جریان تا مدل، 200mm و انتهای مدل تا پایان میدان، 700 mm و ارتفاع میدان 200 mm می‌باشد. مدل عددی و تحلیل صورت گرفته به صورت سه‌بعدی می‌باشد. با توجه به اینکه مدل هندسی و میدان جریان متقابل است، نیمی از مدل به صورت متقابل لحاظ گردیده، بطوریکه صفحه تقارن صفحه xy می‌باشد و

بخار آب، گاز و آب می‌باشند. بدین‌جهت ایجاد حباب کاواک توسط معادله انتقال

جرم ارائه می‌گردد. رابطه (4) معادله بقای کسر حجمی بخار و رابطه (5) معادله بقای کسر حجمی گاز هست. ترم‌های m^+ , m^- در معادله میزان آب تبخیر شده و یا تقطیر شده در حین فرایند کاواک می‌باشند.

$$\frac{\partial(\rho_v)}{\partial t} + \frac{\partial(\rho_v \alpha_v u_j)}{\partial x_j} = \nabla \cdot \left(\frac{\nabla \rho_v \alpha_v}{\rho} \right) + m^+ - m^- \quad (4)$$

$$\frac{\partial(\rho_g \alpha_g)}{\partial t} + \frac{\partial(\rho_g \alpha_g u_j)}{\partial x_j} = \nabla \cdot \left(\frac{\nabla \rho_g \alpha_g}{\rho} \right) \quad (5)$$

طبق معادله رایلی-پلیسیت تغییر سایز حباب، ناشی از اختلاف فشار بین فشار استاتیک محلی و فشار بخار می‌باشد. با صرف‌نظر کردن از ترم مربوط به مشتق دوم شاعع حباب، معادله رایلی-پلیسیت به فرم رابطه (6) نوشته می‌شود.

$$\frac{dR}{dt} = \frac{\sqrt{2|p_v - p_l|}}{\sqrt{3} \rho_l} \quad (6)$$

R شاعع حباب می‌باشد. تعداد حباب‌ها در واحد حجم N_b بستگی به جهت انتقال فاز دارد، که به فرم رابطه (7) می‌باشد.

$$N_b = \left(1 - \alpha_v - \alpha_g\right) \frac{3\alpha_g}{4\pi R^3} \quad (7)$$

چنانچه فرایند تقطیر انجام گردد به فرم رابطه (8) در می‌آید.

$$N_b = \frac{3\alpha_v}{4\pi R^3} \quad (8)$$

نرخ انتقال جرم برای واحد حجم به فرم رابطه (9) می‌باشد.

$$m' = N_b \frac{d\left(\frac{\rho_v 4\pi R^3}{3}\right)}{dt} = 4\pi N_b \rho_v R^2 \frac{dR}{dt} \quad (9)$$

از ترکیب معادلات بالا و ترم‌های m^+ , m^- به روابط (10) و (11) می‌رسیم.

$$m^+ = C_e \frac{3\rho_v (1 - \alpha_v - \alpha_g) \max(\alpha_g, \alpha_{nuc})}{R} \cdot \sqrt{\frac{2 \max(p_v - p_l, 0)}{3 \rho_l}} \quad (10)$$

$$\dot{m}^- = C_c \frac{3\rho_v \alpha_v}{R} \sqrt{\frac{2 \max(p - p_{v,0})}{3 \rho_l}} \quad (11)$$

در روابط فوق C_e و C_c ضرایب تجربی هستند که مقادیر آن‌ها به ترتیب معادل 50 و 0.01 می‌باشند. طبق مدل انتقال جرم زوارت-گیلبر مقدار α_{nuc} مربوط به میزان گاز محلول در آب می‌باشد که معادل 5×10^{-4} است. شاعع حباب در آب نیز معادل 1×10^{-6} متر در نظر گرفته می‌شود.

از روابط (4) و (5) کسر حجمی بخار و گاز حاصل می‌گردد و با روابط (10) و (11) ترکیب می‌گردد.

در کاواک طبیعی و کاواک دمشی مدل‌های دو معادله ای اغتشاش مختلفی بکار می‌روند [14]. جهت بررسی جریان مغushش در کاواک دمشی، کلیه مدل‌های دو معادله ای بررسی گردید. و تنها مدل اغتشاش DES که بر پایه مدل $SST k - \omega$ می‌باشد، جوابگو می‌باشد.

رابطه (12) معادله انرژی جنبشی اغتشاش را نشان می‌دهد.

$$\frac{\partial(\rho k)}{\partial t} + \frac{\partial(\rho k u_i)}{\partial x_i} = \frac{\partial}{\partial x_j} \left\{ \Gamma_k \frac{\partial k}{\partial x_j} \right\} + G_k - Y_k + S_k \quad (12)$$

رابطه (13) نرخ انتقال اغتشاش را نشان می‌دهد.

$$\frac{\partial(\rho \omega)}{\partial t} + \frac{\partial(\rho \omega u_j)}{\partial x_j} = \frac{\partial}{\partial x_j} \left\{ \Gamma_\omega \frac{\partial \omega}{\partial x_j} \right\} + G_\omega - Y_\omega + D_\omega + S_\omega \quad (13)$$

¹ Effective diffusivities

² Hemogetous Mixture

³ Ansys-Fluent

$$Qv = \frac{Q}{U_{\infty} D^2} \quad (23)$$

عدد رینولدز نیز در رابطه (24) نشان داده شده است.

$$Re = \frac{U_{\infty} D}{v} \quad (24)$$

در "جدول 1" سرعت جریان آزاد، عدد فرود و میزان ضریب گاز دمشی که در تحلیل‌ها بکار رفته است، ارائه می‌گردد.

3-1- استقلال از شبکه

جهت بررسی استقلال از شبکه در میدان جریان، از سه شبکه سلول بندی استفاده گردید، در "جدول 2" تعداد سلولها در هر حالت از شبکه بندی ارائه گردیده است

در "شکل 5" کانتور کسر حجمی گاز دمشی در مقطع عرضی $X/D=18$ مربوط به $Fr=7.8$ ، $Qv=0.18$ نشان داده شده است. در این شرایط در پشت جسم دو گردابه لوله ای تو خالی ایجاد می‌گردد که تحت تاثیر نیروی جاذبه بسمت بالا متمایل می‌گردد، توضیحات کامل موضوع فوق در بخش نتایج ارائه می‌گردد، لذا جهت بررسی استقلال از شبکه میدان جریان، بررسی این حالت از نتایج مطلوب بوده و مشاهده می‌گردد که حداکثر خطای بین شبکه بندی 2 و حالت 3 کمتر از 5٪ می‌باشد، لذا میدان حل مستقل از شبکه بوده و براساس شبکه بندی حالت 3 کلیه تحلیلها انجام گردید.

جدول 1 داده‌های مربوط به تحلیل‌های عددی

Table 1 Input data

U_{∞} (m/s)	Fr	Re	Qv
2.44	7.8	21405	0.055
2.44	7.8	21405	0.069
2.44	7.8	21405	0.082
2.44	7.8	21405	0.18
2.44	7.8	21405	0.22
2.44	7.8	21405	0.4
3.75	12	32897	0.18
3.75	12	32897	0.31
3.75	12	32897	0.39
3.75	12	32897	0.54
3.75	12	32897	0.64
6.89	22	60443	0.18
7.39	23.6	64829	0.39

جدول 2 حالتهای شبکه بندی

Table 2 Mesh cases

Case	Fr	Qv	Cell number
Case 1	7.8	0.18	257967
Case 2	7.8	0.18	365234
Case 3	7.8	0.18	427145

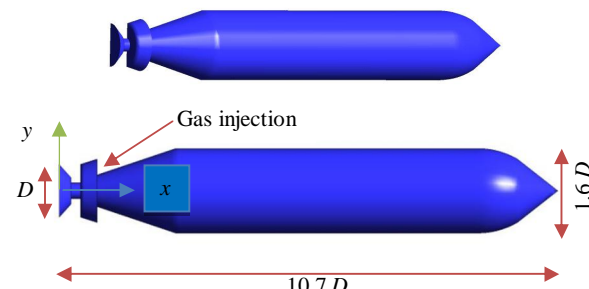
شرط مرزی متقاضی¹ بر روی صفحه xy بکار گرفته شده است. شرط مرزی روی مدل، شرط بدون لغزش² می‌باشد و مرز بین فازهای میدان جریان، شرط لغزش آزاد³ می‌باشد. جریان ورودی آب با چگالی 999.19 kg/m^3 و لزجت 0.001139 kg/ms و گاز دمشی با چگالی 1.185 kg/m^3 و لزجت $18.31 \times 10^{-6} \text{ kg/ms}$ می‌باشد. در "شکل 4" سلول بندی مدل و میدان جریان نشان داده شده است. در نزدیکی مرزهای بدنی و در پشت بدنی، از ضریب تراکم 1.05 بهره‌گیری گردیده. تحلیل بهصورت گذرا انجام گرفته است و قدمهای زمانی بکار رفته، 1×10^{-4} و 1×10^{-5} می‌باشد. تکرارها در هر مرحله تا رسیدن به حالت پایدار ادامه یافته است.

در تحلیل عددی صورت گرفته، عدد فرود و ضریب گاز دمشی دو پارامتر مهم جهت شکل‌گیری کاواک و مکانیزمهای برون روی گاز دمشی می‌باشند.

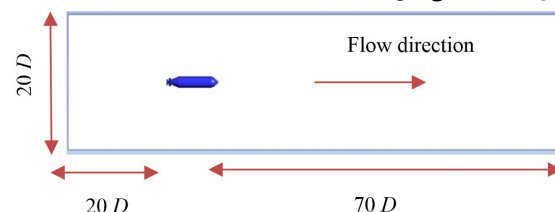
رابطه (22) عدد فرود را نشان می‌دهد که در آن U_{∞} سرعت جریان آزاد، g شتاب جاذبه و D قطر کاواک زا می‌باشد

$$Fr = \frac{U_{\infty}}{\sqrt{gD}} \quad (22)$$

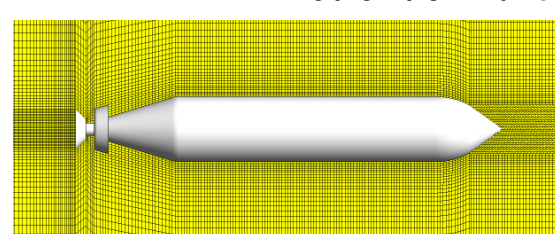
رابطه (23) رابطه بدون بعد ضریب گاز دمشی می‌باشد که در آن Qv دیجیمی گاز تزریق شده از پشت کاواک زا در راستای جریان می‌باشد و سرعت جریان آزاد و D قطر کاواک زا است.



شکل 2 ابعاد هندسی مدل تست



شکل 3 موقعیت مدل در میدان جریان



شکل 4 ساختار شبکه بندی

¹Symmetry

²No slipping

³Slip velocity

مشوش در کاوک دمشی، کلیه مدل‌های دومعادله ای بررسی گردید. و تنها مدل اغتشاش² (DES) که ترکیبی از مدل $k - \omega$ و SST $k - \omega$ باشد، جوابگو می‌باشد.

در این مدل در ناحیه نزدیک جسم و در مجاورت لایه مرزی از مدل دو معادله‌ای (SST $k - \omega$) و در ناحیه پشت جسم از مدل اغتشاش (LES) استفاده می‌گردد. در "شکل 7" مقایسه کسر حجمی برون روی گاز دمشی در $X/D=23$ و $Fr=7.8$ (دید از بالا) بین مدل‌های مختلف اغتشاش نشان داده شده است. مطابق با نتایج تجربی [15] برون روی گاز دمشی در $Qv=0.18$ و $Fr=7.8$ داده شده است. مطابق با نتایج تجربی [15] برون روی گاز دمشی در $Qv=0.18$ و $Fr=7.8$ بصورت دو گردابه لوله ای شکل تو خالی می‌باشد. در "شکل 8" مقایسه خطوط کانتور کسر حجمی برون روی گاز دمشی، مدل‌های مختلف اغتشاش در $Fr=7.8$ و $t=0.15$ s و $Qv=0.18$ در مقاطع $X/D=23$ نشان داده است، لذا مشاهده می‌گردد که فقط مدل اغتشاش (DES)، دو گردابه لوله ای شکل تو خالی تشکیل می‌دهد و بقیه مدل‌های اغتشاش توانایی نشان دادن این حالت گردابه را ندارند.

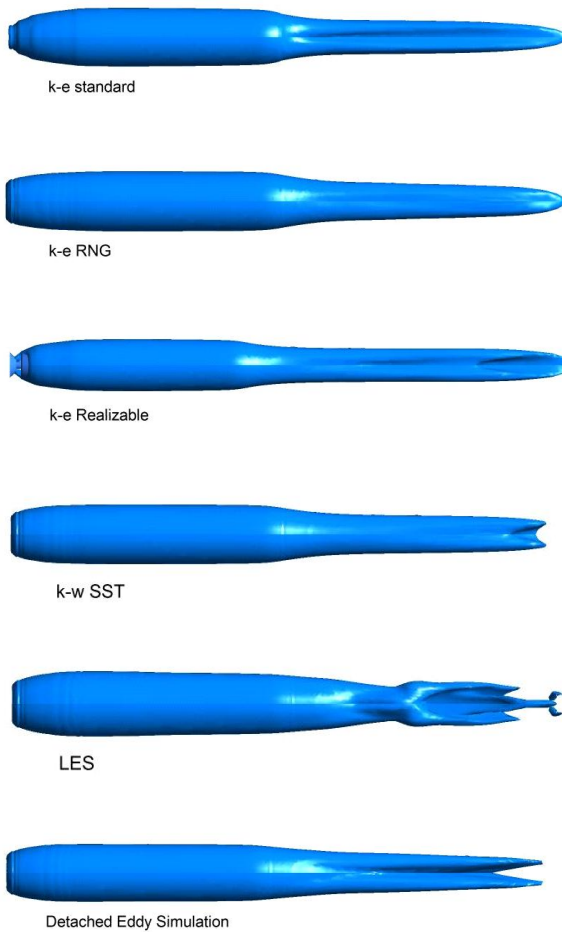


Fig 7. Comparison of turbulent models at $Fr=7.8$, $Qv=0.18$, $t=0.15$ s (vertical view)

شکل 7 مقایسه کسر حجمی برون روی گاز دمشی، مدل‌های مختلف اغتشاش در $Fr=7.8$ و $Qv=0.18$ و $X/D=23$ و $t=0.15$ s (دید از بالا)،

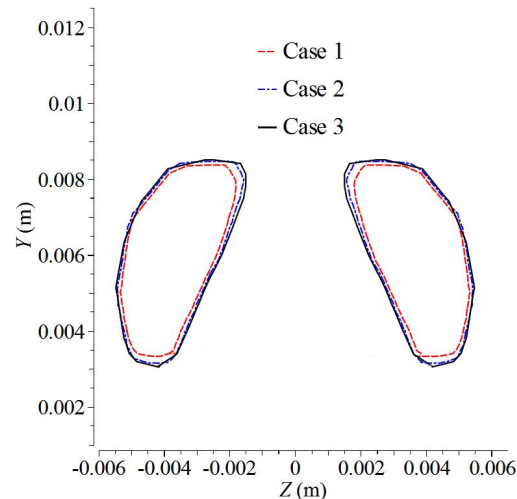


Fig 5. Comparison of gas volume fraction contour line cross section at $X/D=18$ $Fr=7.8$, $Qv=0.18$ at different meshes

شکل 5 مقایسه خطوط کانتور کسر حجمی گاز دمشی در شبکه بندی مختلف در $Fr=7.8$, $Qv=0.18$ و $X/D=18$

در "شکل 6" نتایج تجربی [15] مربوط به الگوهای متفاوت برون روی گاز دمشی، برای ضریب گاز دمشی ثابت $Qv=0.18$ ، در اعداد فرود مختلف مقایسه شده است.

نتایج تجربی فوق نشان می‌دهد، وقتی که میزان گاز دمشی ثابت باشد، با افزایش عدد الگوی برون روی گاز دمشی و ساختار جریان تغییر می‌یابد. وقتی که میزان گاز دمشی ثابت باشد و عدد فرود تغییر کند، دو مکانیزم مختلف از برون روی گاز دمشی ایجاد می‌شود [16].

4- نتایج

تأثیر مدل‌های اغتشاش، تاثیر عدد فرود، تاثیر میزان ضریب گاز دمشی در روند تشکیل ساختار آبرکاوک بشرح زیر می‌باشد.

4-1- بررسی رفتار مدل‌های اغتشاش

انتخاب مدل اغتشاش، جهت نشان دادن رفتار ناپایدار ساختار کاوک بسیار اهمیت دارد. مدل دو معادله‌ای $k - \omega$ SST $k - \omega$ جهت ارائه رفتار و ساختار کاوک طبیعی بر روی جسم مناسب می‌باشد [17] و از طرفی دیگر مدل (LES)¹ توانایی شبیه‌سازی کاوک در پشت جسم را دارد [18]. جهت بررسی جریان

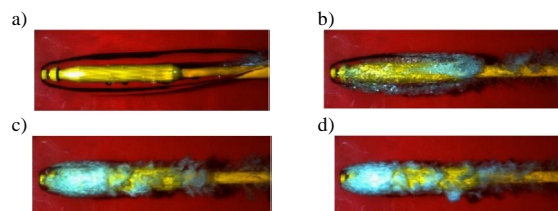


Fig 6. Comparison of the Experimentally cavitating pattern at different Fr numbers a) $Fr=7.8$, b) $Fr=12$, c) $Fr=22$, d) $Fr=23.6$, $Qv=0.18$

شکل 6 مقایسه نتایج تجربی مربوط به الگوهای کاوک در اعداد فرود مختلف، الف) $Qv=0.18$ ، ب) $Fr=23.6$ ، c) $Fr=22$ ، ج) $Fr=12$ ، د) $Fr=7.8$

² Detached Eddy Simulation(DES)

¹ Large eddy simulation(LES)

"شکل 9" نشان می‌دهد که برون روی گاز دمشی توسط دو گردابه لوله ای^۱ شکل انجام می‌گردد و به‌واسطه نیروی جاذبه، گردابه‌های لوله‌ای شکل ای^۲ سمت بالا تغییر مسیر می‌دهد. تا زمانی که کاوک روی جسم می‌باشد سطح مقطع کاوک به صورت متقارن می‌باشد و زمانی که کاوک به انتهای جسم می‌رسد سطح مقطع کاوک کاهش می‌یابد، به علت وجود نیروی جاذبه، سرعت روی کاوک کوچکتر از سرعت زیر کاوک شده و این اختلاف سرعت باعث می‌گردد که چرخش^۲ ایجاد گردد و حاصل آن گردابه چرخشی باشد که به فرم مجرای لوله‌ای شکل ای² ایجاد گردد و حاصل آن گردابه چرخشی باشد که گردابه، مؤلفه سرعت به سمت بالا متمایل می‌گردد و باعث می‌شود که گردابه نسبت به محور افق زاویه دار شود.

در "شکل 10" براساس نتایج تحلیل عددی، خطوط کانتور کاوک برای $Fr=7.8$, $Qv=0.18$ در سطوح مقاطع $X/D=8, 11, 13, 15, 17, 19, 21, 23$ ارائه گردیده است. با توجه به سطوح مقاطع نشان داده شده، مشاهده می‌گردد که کاوک روی سطح جسم متقارن می‌باشد، در انتهای جسم، کاوک در اثر نیروی جاذبه به سمت بالا حرکت می‌کند و سطح مقطع آن کاهش می‌یابد، همچنان که سطح مقطع کاهش می‌یابد، کاوک کاملاً به فرم یک مسیر بسته و گردابه لوله‌ای شکل درمی‌آید.

در "شکل 11" مکانیزم دوم برون روی گاز دمشی، نشان داده شده است. در این شکل، مقایسه بین شکل کاوک، الف) نتیجه تجربی [15] و ب) تحلیل عددی در $Fr=12$, $Qv=0.64$, $Fr=7.8$, $Qv=0.22$ ارائه شده است. این شکل، الگوی مربوط به کاوک دمشی و کسر حجمی گاز، در صفحه عمودی و موقعیت طولی را از منظر روپرتو و عمودی نشان می‌دهد. با افزایش عدد فرود، مکانیزم برون روی گاز دمشی کاملاً متفاوت می‌گردد.

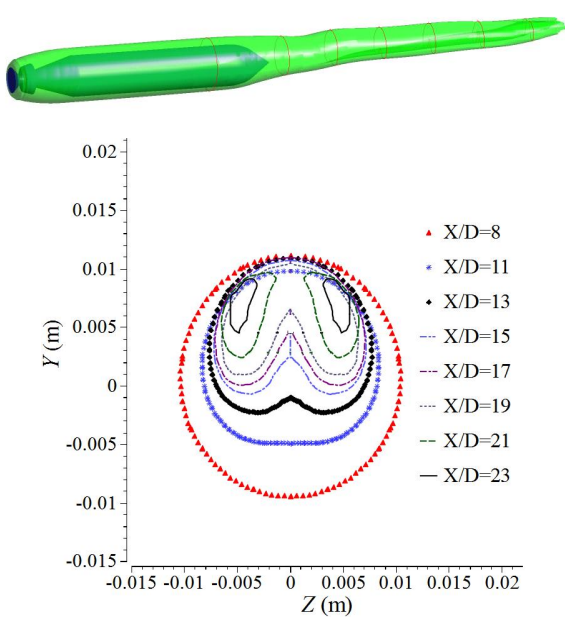


Fig 10. نتایج تحلیل عددی از خطوط کانتور کسر حجمی گاز دمشی در سطوح مقطع مختلف $Fr=7.8$, $Qv=0.18$

شکل 10 نتایج تحلیل عددی از خطوط کانتور کسر حجمی گاز دمشی در سطوح مقطع مختلف $Fr=7.8$, $Qv=0.18$

¹Trailing vortex

²Circulation

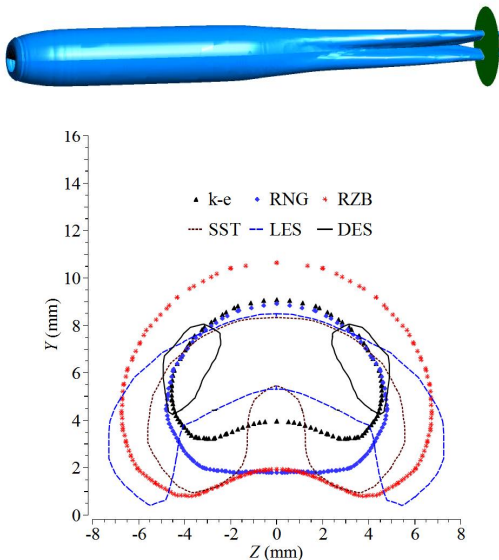


Fig 8. Comparison of gas volume fraction contour line at turbulent models at $Fr=7.8$, $Qv=0.22$, $X/D=23$, $t=0.15$ s (vertical view)

شکل 8 مقایسه خطوط کانتور کسر حجمی برون روی گاز دمشی، مدل‌های مختلف انتشار در $Fr=7.8$, $Qv=0.18$ و $X/D=23$ در مقطع عرضی $t=0.15$ s (دید از بالا)

4- تأثیر عدد فرود روی ساختار آبرکاوک

وقتی که میزان گاز دمشی ثابت باشد و عدد فرود تغییر کند، دو مکانیزم مختلف از برون روی گاز دمشی ایجاد می‌شود.

در "شکل 9" مکانیزم اول برون روی گاز دمشی نشان داده شده است، در این شکل، مقایسه بین شکل کاوک، الف) نتیجه تجربی [15] و ب) تحلیل عددی در $Fr=0.18$, $Qv=0.22$ ارائه شده است. این شکل الگوی مربوط به کاوک دمشی و کسر حجمی گاز، در صفحه عمودی و موقعیت طولی را از منظر روپرتو و عمودی نشان می‌دهد. زمانی که عدد فرود نسبتاً کوچک است، $Fr=7.8$, کاوک به صورت پایدار تا ۱.۵ برابر طول جسم رشد می‌کند، تأثیر نیروی جاذبه در این حالت چشمگیر بوده و باعث می‌گردد که محور کاوک به سمت بالا متمایل گردد و سطح مقطع کاوک تغییر یابد.

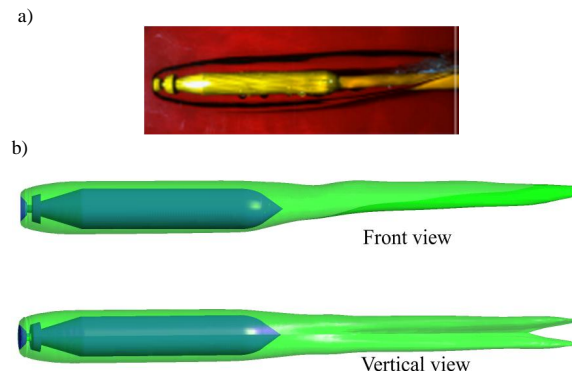


Fig 9. Ventilated cavity shape and gas volume fraction at different locations along the vertical planes at $Fr=7.8$, $Qv=0.18$ a)Experimental b)Numerical

شکل 9 شکل کاوک دمشی و برون روی گاز دمشی در موقعیت‌های مختلف، در صفحه عمودی $Fr=7.8$, $Qv=0.18$ الف) تجربی ب) عددی

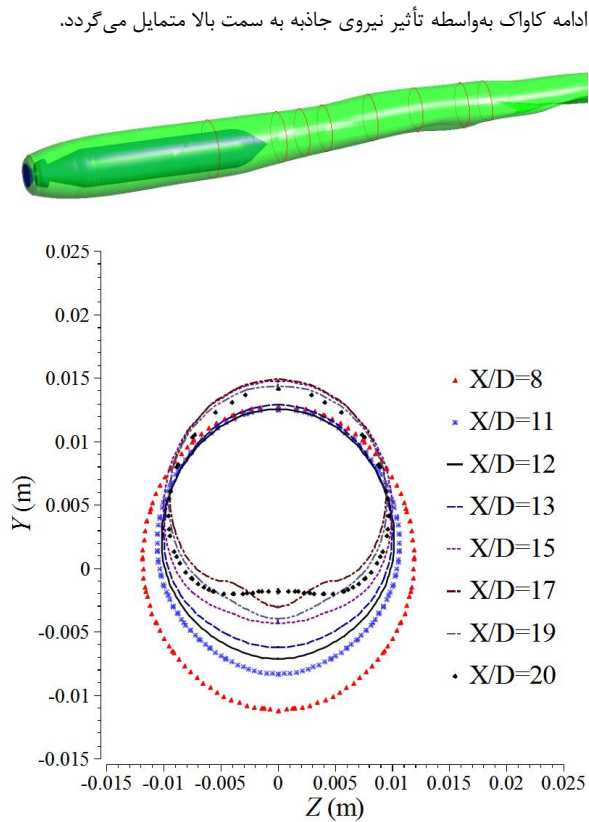
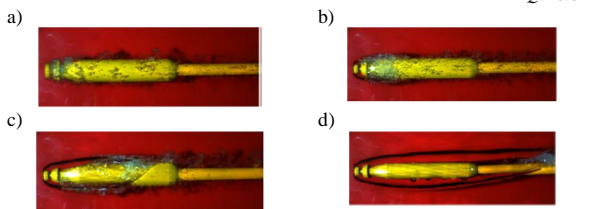
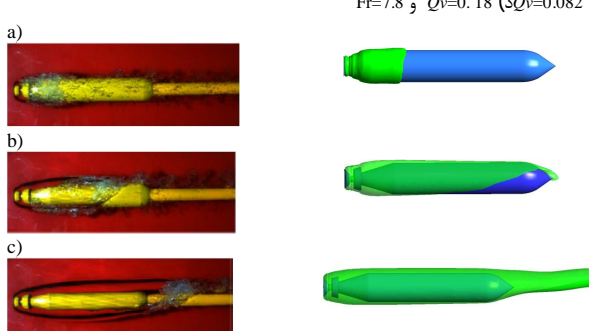


Fig 12. Numerical results of gas volume fraction contour line at different cross section $Fr=12$, $Qv=0.64$

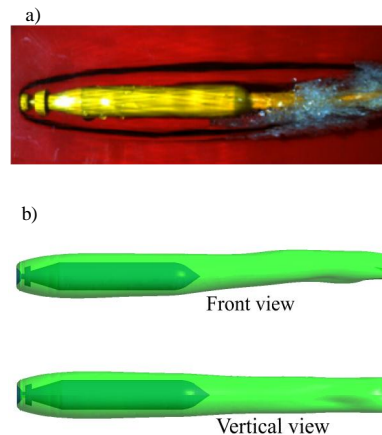
شکل 12 خطوط کانتور کسر حجمی گاز دمشی در سطوح مقاطع مختلف $Fr=12$, $Qv=0.64$



شکل 13 مقایسه تجربی الگوهای کاواک در (الف) $Qv=0.055$ (ب) $Qv=0.069$ (ج) $Qv=0.082$ و (د) $Qv=0.18$, $Fr=7.8$



شکل 14 مقایسه شکل کاواک دمشی و برون روی گاز دمشی بین نتایج تجربی و عددی (الف) $Qv=0.069$ (ب) $Qv=0.082$ (ج) $Qv=0.18$, $Fr=7.8$



شکل 11 شکل کاواک دمشی و برون روی گاز دمشی در موقعیت‌های مختلف، در صفحه عمودی $Fr=12$, $Qv=0.64$ (الف) تجربی (ب) عددی

وقتی ضریب گاز دمشی ثابت باشد، برای عدد فرود $Fr=22$, $Fr=23.6$ کاواک به مراتب کوچک‌تر از عدد فرود $Fr=7.8$ می‌باشد، زیرا افزایش سرعت جریان آزاد، مانع از بهم پیوستگی گاز دمشی می‌گردد. در این حالت تأثیر نیروی جاذبه روی شکل کاواک ناچیز می‌گردد و انتهای کاواک به صورت مخلوطی از گاز دمشی و بخار آب، خود را نشان می‌دهد، برون روی گاز دمشی را می‌توان به این شکل بیان نمود که خروج این گاز به صورت حلقه‌های بسته انجام می‌گردد [16].

براساس نتایج تحلیل عددی، ساختار کاواک، این موضوع را نشان می‌دهد، که کاواک به فرم متقاضن در پشت جسم و در راستای جسم ادامه می‌پابد و تأثیر نیروی جاذبه روی آن ناچیز می‌باشد.

در "شکل 12" براساس نتایج تحلیل عددی، خطوط کانتور کاواک برای در سطوح مقاطع $X/D=8,11,13,15,17,19,21,23$ در $Fr=12$, $Qv=0.64$ ارائه شده است. با توجه به سطوح مقاطع نشان داده شده، مشاهده می‌گردد که کاواک روی سطح جسم و در امتداد آن متقاضن و به فرم گردابه استوانه‌ای¹ می‌باشد، در امتداد جسم، نیروی جاذبه تأثیر ناچیزی بر ساختار کاواک دارد، و همچنان در راستای جسم، برون روی گاز دمشی اتفاق می‌افتد.

4- تأثیر میزان گاز دمشی روی ساختار آبرکاواک

در "شکل 13" نتایج تجربی [15] مربوط به الگوهای مختلف برون روی گاز دمشی برای عدد فرود $Fr=7.8$ و ضریب گاز دمشی (الف) $Qv=0.055$ (ب) $Qv=0.069$ (ج) $Qv=0.082$ (د) $Qv=0.069$ نشان داده شده است.

در "شکل 14" مقایسه بین شکل کاواک دمشی و برون روی گاز دمشی بین نتایج تجربی [15] و نتایج عددی در $Fr=7.8$ و (الف) $Qv=0.069$ (ب) $Qv=0.082$ (ج) $Qv=0.18$ (د) $Qv=0.069$ نتایج عددی انجام گردیده است.

نتایج تجربی و عددی نشان می‌دهد که، چنانچه عدد فرود ثابت باشد، با افزایش میزان ضریب گاز دمشی، سطح کاواک افزایش می‌پابد و بزرگ‌تر شدن سطح کاواک نشان می‌دهد، که تأثیر نیروی جاذبه روی شکل کاواک بسیار حائز اهمیت می‌باشد. در عدد فرود $Fr=7.8$ با افزایش میزان ضریب گاز دمشی، سطح جسم و ادامه آن، بدترینج توسط کاواک پوشیده می‌گردد و

¹ Toroidal vortex

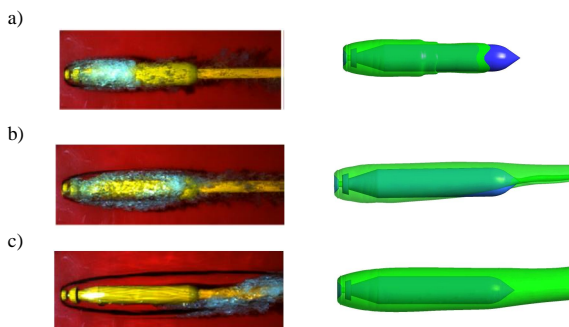


Fig 17. Comparison of ventilated cavity shape and gas leakage between experimental and numerical results a) $Q_v=0.18$, b) $Q_v=0.39$, c) $Q_v=0.64$, $Fr=12$,

شكل 17 مقایسه شکل کاوک دمشی و برون روی گاز دمشی بین نتایج تجربی و عددی (الف) $Q_v=0.18$ (ب) $Q_v=0.39$ (ج) $Q_v=0.64$

در "شکل 18" انطباق شکل کاوک دمشی و برون روی گاز دمشی بین نتایج تجربی و عددی در $Fr=12$ و (الف) $Q_v=0.18$ (ب) $Q_v=0.39$ (ج) $Q_v=0.64$ انجام

گردیده است.
در "شکل 19" خطوط میدان جریان و کانتور کسر حجمی گاز دمشی نشان داده شده است، مشاهده می گردد که گاز دمشی از تماس خطوط جریان با بدنه جسم جلوگیری می کند.

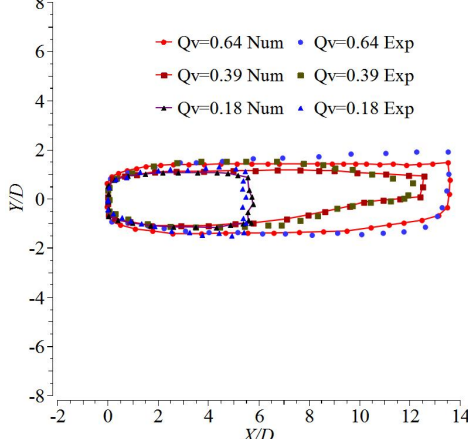


Fig 18. Comparison of ventilated cavity shape and gas leakage between experimental and numerical results a) $Q_v=0.18$, b) $Q_v=0.39$, c) $Q_v=0.64$, $Fr=12$,

شكل 18 انطباق شکل کاوک دمشی و برون روی گاز دمشی بین نتایج تجربی و عددی (الف) $Q_v=0.18$ (ب) $Q_v=0.39$ (ج) $Q_v=0.64$

عددي (الف) $Q_v=0.18$ (ب) $Q_v=0.39$ (ج) $Q_v=0.64$

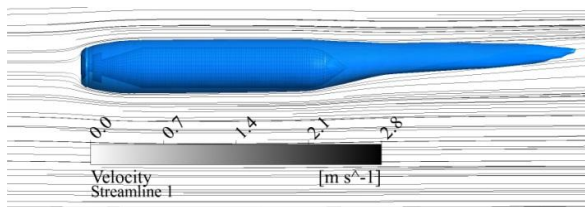


Fig 19. Velocity streamline and gas volume fraction contour $Fr=7.8$, $Q_v=0.18$

شكل 19 خطوط میدان جریان و کانتور کسر حجمی گاز دمشی

در "شکل 15" انطباق بین نتایج تجربی و نتایج عددی در $Fr=7.8$ (الف) $Q_v=0.069$ (ب) $Q_v=0.082$ (ج) $Q_v=0.18$ (د) انجام گردیده است. مشاهده می گردد که نتایج عددی به حد قابل قبولی، شکل اندازه و مرازهای نتایج تجربی را پوشش می دهد.

در "شکل 16" نتایج تجربی [15] مربوط به الگوهای متفاوت برون روی گاز دمشی برای عدد فرود $Fr=12$ و ضربی گاز دمشی (الف) $Q_v=0.12$ (ب) $Q_v=0.18$ (ج) $Q_v=0.39$ (د) $Q_v=0.64$ نشان داده شده است.

در "شکل 17" مقایسه شکل کاوک دمشی و برون روی گاز دمشی بین نتایج تجربی [15] و نتایج عددی در $Fr=12$ (الف) $Q_v=0.18$ (ب) $Q_v=0.39$ (ج) $Q_v=0.64$ انجام گردیده است.

ساختار جریان در عدد فرود $Fr=12$ با افزایش میزان ضربی گاز دمشی، مشابه ساختار جریان در عدد فرود $Fr=7.8$ می باشد. در یک میزان ضربی گاز دمشی $Q_v=0.64$ مشاهده می شود که کاوک از مکانیزم گردابه لوله ای در انتهای کاوک به مکانیزم گردابه استوانه ای تبدیل می گردد، این حالت یک حالت بحرانی است که وابسته به عدد فرود و میزان ضربی گاز دمشی می باشد. با توجه به "شکل 13" و "شکل 17" مشاهده می گردد، که در یک عدد فرود ثابت با افزایش نرخ دمش گاز، طول حباب افزایش می یابد. افزایش طول کاوک یک حد معینی دارد و پس از آن حتی با افزایش نرخ دمش گاز نمی توان طول حباب کاوک را افزایش داد، با افزایش نرخ دمش گاز در حباب کاوک، به واسطه گردابان فشار و تنفس برشی، در انتهای کاوک مجرایی به وجود آمده و گاز دمشی از کاوک جدا می گردد.

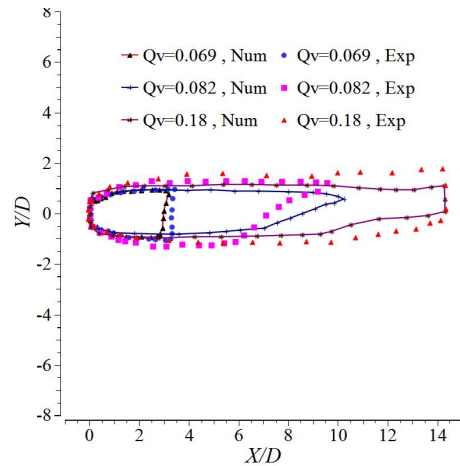


Fig 15 Comparison of ventilated cavity shape and gas leakage between experimental and numerical results a) $Q_v=0.069$, b) $Q_v=0.082$, c) $Q_v=0.18$, $Fr=7.8$

شكل 15 انطباق بین شکل کاوک دمشی و برون روی گاز دمشی بین نتایج تجربی و عددی (الف) $Q_v=0.069$ (ب) $Q_v=0.082$ (ج) $Q_v=0.18$

عددي (الف) $Q_v=0.069$ (ب) $Q_v=0.082$ (ج) $Q_v=0.18$

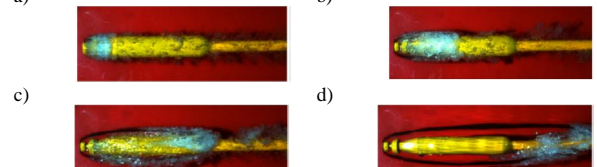


Fig 16. Comparison of cavitation pattern at a) $Q_v=0.12$, b) $Q_v=0.18$, c) $Q_v=0.39$, d) $Q_v=0.64$, $Fr=12$

شكل 16 مقایسه تجربی الگوهای کاوک در (الف) $Q_v=0.12$ (ب) $Q_v=0.18$ (ج) $Q_v=0.39$ (د) $Q_v=0.64$

(6) افزایش ضریب گاز دمشی باعث می گردد که پسای اصطکاکی روی بدنه جسم به مقدار قابل توجهی کاهش یابد و ضریب پسا بر روی جسم کم گردد.

6- فهرست عالم

A	سطح مقطع جسم (m^2)
C_d	ضریب پسا
C_c	ضریب تقطیر
C_e	ضریب تبخیر
C_p	ضریب فشار
D	قطر جسم (m)
D_ω	ترم دیفیوژن
F	نیروی پسا (N)
Fr	عدد فرود
g	شتاب جاذبه (m/s^2)
G_k	ترم تولید
G_ω	ترم تولید
K	انرژی جنبشی اغتشاش (m^2/s^2)
KL	طول جسم (m)
m^+	نرخ انتقال جرم به فرم تبخیر (kg/s)
m^-	نرخ انتقال جرم به فرم تقطیر (kg/s)
n	تعداد حباب در واحد حجم
P	فشار جریان محلول (pa)
P_r	فشار مرجع (pa)
P_B	فشار داخل حباب (pa)
P_c	فشار داخل کاوک (pa)
P_v	فشار بخار آب (pa)
P_∞	فشار محیط (pa)
Q_v	ضریب گاز دمشی
Q	دبی حجمی گاز دمشی
R	شعاع حباب (m)
R_e	عدد رینولدز
S_k	ترم چشممه
S_ω	ترم چشممه
t	زمان (s)
u	مولفه سرعت (m/s)
u_∞	سرعت جریان آزاد (m/s)
Y_k	ترم پراکندگی k به واسطه اغتشاش
Y_ω	ترم پراکندگی ω به واسطه اغتشاش
α_v	کسر حجمی بخار
α_g	کسر حجمی گاز
σ_c	عدد کاوک دمشی
μ	لزجت جریان آرام (kg/ms)
μ_t	لزجت جریان مغشوش (kg/ms)
ρ	جرم حجمی (kg/m^3)
ρ_v	جرم حجمی بخار (kg/m^3)

4- تأثیر ضریب گاز دمشی روی ضریب پسا:

در "جدول 3" مقایسه ای بین ضریب پسا برای اعدد فرود $Fr=7.8$ و $Fr=12$ و ضرایب گاز دمشی متفاوت نشان داده شده است. در عدد فرود ثابت، مشاهده می شود که با افزایش ضریب گاز دمشی، ضریب پسا روی بدنه جسم کاهش می یابد. افزایش ضریب گاز دمشی باعث می گردد که تماس سیال پیرامون جسم با بدنه جسم از بین بود و پسای اصطکاکی به میزان قابل توجهی کاهش یابد. در حالت $Fr=12$ که گردابه پیچشی ایجاد می گردد بعلت اینکه ضریب پسا فشاری افزایش می یابد، مقدار ضریب پسا بزرگتر می باشد،

5- نتیجه گیری

توسط دمش گاز بر روی بدنه شناورهای رونده زیرآبی می توان آبرکاوک دمشی ایجاد کرد. نتایج تجربی و نتایج حاصل از تحلیل عددی نشان می دهد، (1) فقط مدل اغتشاش (DES) که ترکیبی از مدل اغتشاش دو معادله ای (LES) و مدل (SST $k - \omega$) می باشد ساختار آبرکاوک دمشی، را شبیه سازی می کند.

(2) دو پارامتر اصلی و موثر در تشکیل آبرکاوک دمشی، عدد فرود و ضریب گاز دمشی، می باشند.

(3) در اعداد فرود مختلف، وقتی میزان ضریب گاز دمشی ثابت باشد رفتار برون روی گاز دمشی، از داخل ساختار کاوک، توسط دو مکانیزم متفاوت قابل بیان است. (الف) گردابه استوانه ای پیچشی، که شامل مخلوطی از گاز دمشی و بخار آب بوده و در امتداد جسم می باشد. (ب) دو گردابه لوله ای توخالی که شامل گاز دمشی می باشد و تحت تأثیر نیروی جاذبه، با امتداد جسم، زاویه گرفته و به سمت بالا متایل می گردد. تا زمانی که کاوک روی جسم است، سطح مقطع کاوک کاهش می یابد. در اعداد فرود پایین گردابه لوله ای توخالی و با افزایش عدد فرود از حد معین، گردابه استوانه ای پیچشی تولید می شود.

(4) در اعداد فرود ثابت، با افزایش میزان ضریب گاز دمشی، به طور قابل ملاحظه ای طول کاوک افزایش می یابد، و نیروی جاذبه بر شکل کاوک تأثیر می گذارد. طول کاوک معمولاً تا 1.5 برابر طول جسم افزایش می یابد. با افزایش عدد فرود، در یک مقدار خاصی از میزان گاز دمشی، کاوک از حالت گردابه لوله ای توخالی، به گردابه استوانه ای پیچشی تبدیل می گردد. این مقدار خاص با عدد فرود تغییر می یابد.

(5) در یک عدد فرود ثابت، وقتی که کاوک بر روی جسم، شکل می گیرد، با افزایش میزان ضریب گاز دمشی، طول حباب افزایش می یابد. افزایش طول کاوک یک حد معینی دارد و پس از آن حتی با افزایش نرخ دمش گاز نمی توان طول حباب کاوک را افزایش داد، زیرا با افزایش نرخ دمش گاز در حباب کاوک، به واسطه گرادیان فشار و تنفس برشی در انتهای کاوک مجرایی به وجود آمده و گاز دمشی از کاوک خارج می گردد.

جدول 3 مقایسه ضریب پسا

Table 3 Comparison of drag coefficient

Fr	Q_v	C_d
7.8	0.069	0.18
7.8	0.082	0.13
7.8	0.18	0.12
12	0.18	0.52
12	0.39	0.34
12	0.64	0.28

- [7] J. L. ping, W. Cong, j. W. Ying, W. H. bin, Z. J. zhong, Y. K. ping, Numerical simulation of artificial ventilated cavity, *Journal of Hydrodynamics*, Vol. 18, No. 3, pp. 273-279, 2006.
- [8] W. W. Zhang, Y. J. Wei, J. Z. Zhang, C. Wang, K. P. Yu, Experimental research on the shape characters of natural and ventilated supercavitation, *Journal of Hydrodynamics*, Vol. B19, No. 5, pp. 564-571, 2007.
- [9] Z. Wang, K. P. Yu, X. H. Wan, Research on the gas-leakage rate of unsteady ventilated supercavity, *Journal of Hydrodynamics*, Vol. 22, No. 5, pp. 778-783, 2010.
- [10] B. Ji, X. w. Luo, X. x. Peng, Y. Zhang, Y. l. Wu, H. y. Xu, Numerical investigation of the ventilated cavitating flow around an under-water vehicle based on a three-component cavitation model, *Journal of Hydrodynamics*, Vol. 22, No. 6, pp. 753-759, 2010.
- [11] H. Chanson, , *Air bubble entrainment in free-surface turbulent shear flows*, pp. 127-135, London, UK: Academic Press, 1997.
- [12] K. S. Hong, K. Nakwan, Hydrodynamics and modeling of a ventilated supercavitating body in transition phase, *Journal of Hydrodynamics*, Vol. 27, No. 5, pp. 763-772, 2015.
- [13] A. K. Singhal, H. Li, M. Athavale, Mathematical Basis and Validation of the Full Cavitation Model, *Journal of Fluids Engineering*, Vol. 124, No. 3, pp. 617-624, 2002.
- [14] S. T. Johansen, J. Wu, W. Shyy, Filter-based un steady RANS computations, *Heat Fluid Flow*, Vol. 25, No. 1, pp. 10-21, 2004.
- [15] T. J. Schauer, *An Experimental study of a ventilated supercavitating vehicle*, Thesis, MS thesis in aerospace engineering, university of minnesota, 2013.
- [16] V. N. Semenenko, *Artificial supercavitation physics and calculation*, Institute of Hydromechanics of Ukrainian Academy of Science, Kiev, ADP012080, 2001.
- [17] C. Delgoshha, O. F. Patella, R. Reboud, Evaluation of the turbulence model influence on the numerical simulations of unsteady cavitation., *Journal of Fluids Engineering*, Vol. 125, No. 1, pp. 38-45, 2003.
- [18] B. Ji, X. Luo, W. Arndt, R. E. A. Peng, X. X. Wu, 68, Large eddy simulation and theoretical investigations of the transient cavitating vortical flow structure around a NACA66 hydrofoil., *Journal of Multiphase Flow*, Vol. 68, No 5, pp. 121-134, 2015.

ρ_g	جرم حجمی گاز (kg/m^3)
ρ_l	جرم حجمی سیال (kg/m^3)
α_{nuc}	کسر حجمی گاز محلول در آب
σ_k	عدد پرانتل مربوط به
σ_ω	عدد پرانتل مربوط به
α^*	ضریب دمپ لرجت اغتشاش
β^*	ضریب دمپ
k	ترم نفوذ مؤثر
Γ_k	ترم نفوذ مؤثر
ω	ترم نفوذ مؤثر

7- مراجع

- [1] S. L. Ceccio, Friction drag reduction of external flows with bubble and gas injection, *Fluid Mechanics*, Vol. 42, No. 4, pp. 183-203, 2010.
- [2] M. Wosnik, R. E. A. Arndt, Measurements in high void-fraction bubbly wakes created by ventilated supercavitation, *Proceedings of The 6th International Symposium on Cavitation*, wageningen the netherlands, pp. 154-165, 2006.
- [3] Y. N. Savchenko, Y. D. Vlanelsko, V. N. Semenenko, Experimental study of high-speed cavitating flows, *Journal of Fluid Mechanics*, Vol. 26, No. 3, pp. 365-374, 1999.
- [4] J. W. Lindau, R. F. Kunz, J. M. Mulherin, J. J. Dreyer, D. R. Stinebring, Fully coupled 6- DOF to URANS modeling of cavitating flow around a supercavitating vehicle, *Proceedings of The 5th International Symposium on Cavitation*, Osaka, Japan, pp. 54-65, 2003.
- [5] H. B. Wang, J. Z. Zhang, Y. J. Wei, Study on relations between cavity form and typical cavitator parameters, *Journal of Hydrodynamics*, Vol. 20, No. 2, pp. 251-257, 2005.
- [6] M. Maerefat, S. Tahmasebi, M. R. Ansari, Numerical simulation of super-cavitating flow and calculation of cavity length around a submersible vehicle, *Modares Mechanical Engineering*, Vol. 15, No. 8, pp. 187-196, 2015 (in Persian).